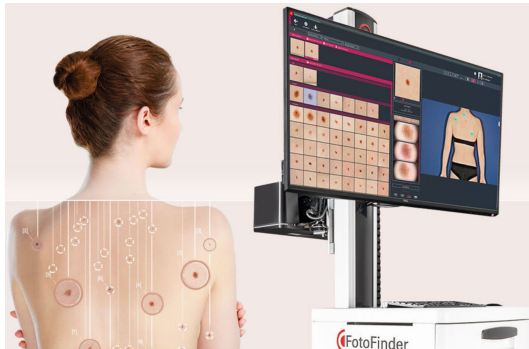


Détection et prévention des mélanomes dit à risque

Pauline Séret n45330
2021-2022

Introduction



Problématique

Comment prévenir/anticiper une maladie de la peau avec les nouvelles technologies?

Plan

Détections des mélanomes malins avec un LIDAR

Principe du LIDAR

Comment observer les mélanomes?

les limites de l'utilisation d'un LIDAR, et pourquoi on utilise la photo

Différences entre malin et bénin

Visualisation de l'évolution du mélanome dans le temps.



Le Principe du LIDAR

Principe du LIDAR

Qu'est ce qu'un LIDAR?

Son schéma

L'effet Doppler

Qu'est ce qu'un LIDAR?

L.I.D.A.R.: Light Detection And Ranging

Technique de mesure électronique de distance permettant de mesurer la distance entre la surface d'un objet et l'appareil grâce aux propriétés des faisceaux de lumière.

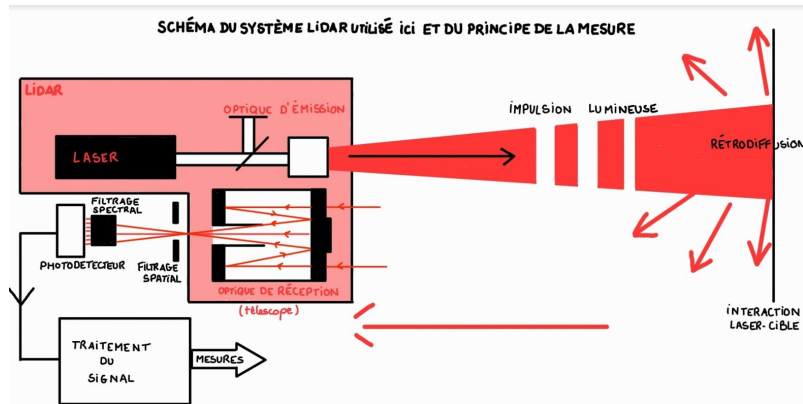


VL6180

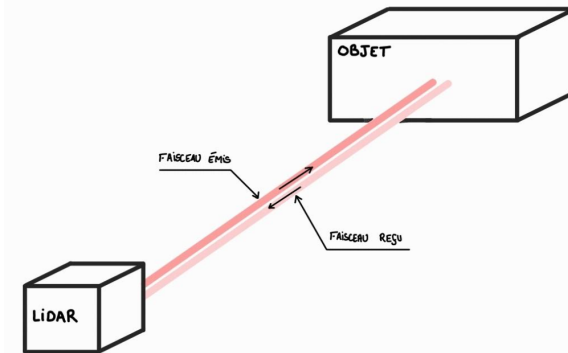


LIDAR
commercial

Schéma



L'effet Doppler dans le LIDAR





Comment observer les mélanomes?

Comment observer les mélanomes?



Les différentes méthodes au fil du temps

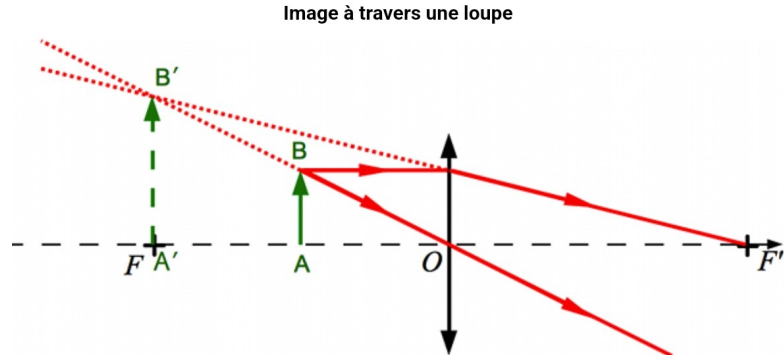
Le dermoscope, aspect physique

Le PHOTOFINDER

Les différentes méthodes au fil du temps

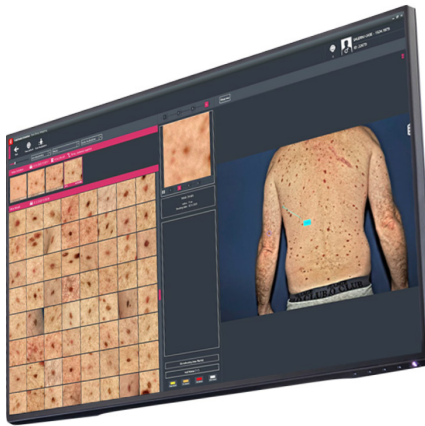


Le dermoscope, aspect physique



Crédit : ASM/B. Mollier

Le FOTOFINDER

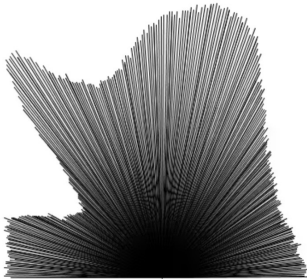




Les limites d'utilisations d'un LIDAR dans ce contexte

Comparaison entre les résultats

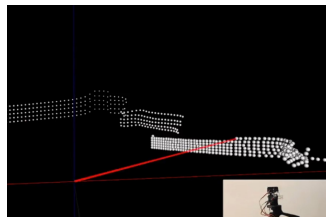
Les résultats qu'un LIDAR peut apporter.



LIDAR monté sur servomoteur



VL6180



Détection 3D d'une pièce





Différences entre malin et bénin

Différences entre malin et bénin

Le score CASH



L'ABCD'air du dermatologue



Le score CASH

Score CASH

C = Couleurs: 1 point pour chaque couleur:



A = Architecture

0 = ordonnée, 1 = un peu désordonnée , 2 = désordonnée

S = Symetrie

0 = deux axes, 1 = un seul axe, 2 = pas de symetrie

H = Homogénéité / Hétérogénéité 1 point pour chaque :

réseau	images de régression	points/
globules	stries / pseudopodes	taches
patron vasculaire polymorphe	voile gris-bleu	

(Homogénéité = 1 structure seulement Hétérogénéité = 2 ou plus)

TCS = Total CASH Score (de 2 à 17)

(si ≥ 8 sensibilité de 98% et spécificité de 68% pour le diagnostic de mélanome)

Algorithme C.A.S.H.

C = Couleurs peu VS. beaucoup

A = Architecture regulière VS. irregulière

S = Symetrie VS. asymetrie

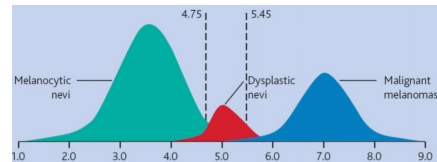
H = Homogénéité VS. Hétérogénéité

L'ABCD'air du dermatologue

Score ABCD (Total dermoscopy score)

(Stolz et al.1992)

A symetrie	X 1,3
	+
Bords abrupts	X 0,1
	+
Couleurs	X 0,5
	+
structures Dermoscopiques	X 0,5





Visualisation de l'évolution du mélanome dans le temps

Visualisation de l'évolution du
mélanome dans le temps.



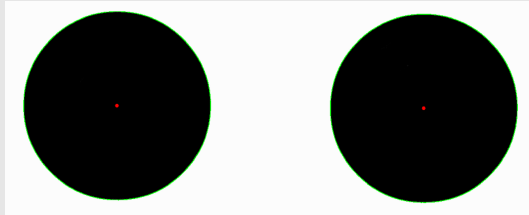
Traitements d'image avec Python

Traitement d'image

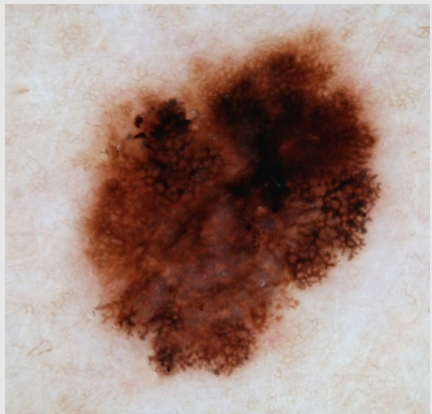
Analogie avec des matrices

```
>>> comparaison(10)
[[0. 0. 0. 0. 0. 0. 0. 0. 0. 0.]
 [1. 1. 1. 1. 1. 1. 1. 1. 1. 1.]
 [0. 0. 0. 0. 0. 0. 0. 0. 0. 0.]
 [1. 1. 1. 1. 1. 1. 1. 1. 1. 1.]
 [0. 0. 0. 0. 0. 0. 0. 0. 0. 0.]
 [1. 1. 1. 1. 1. 1. 1. 1. 1. 1.]
 [0. 0. 0. 0. 0. 0. 0. 0. 0. 0.]
 [1. 1. 1. 1. 1. 1. 1. 1. 1. 1.]
 [0. 0. 0. 0. 0. 0. 0. 0. 0. 0.]
 [1. 1. 1. 1. 1. 1. 1. 1. 1. 1.]
 [[0 0 0 0 0 0 0 0 1 1]
 [0 0 1 0 1 1 0 0 0 0]
 [1 0 0 0 0 0 0 1 0 0]
 [1 0 0 1 0 0 0 0 1 0]
 [0 0 1 0 0 1 0 0 0 0]
 [1 0 0 0 0 0 0 0 1 0]
 [1 0 0 0 0 0 0 0 0 0]
 [0 0 0 1 0 1 1 0 0 0]
 [0 0 0 0 0 0 0 1 0]
 [0 0 0 0 0 1 0 0 1 0]]]
```

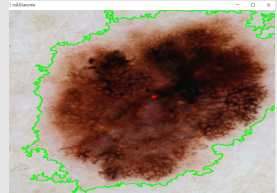
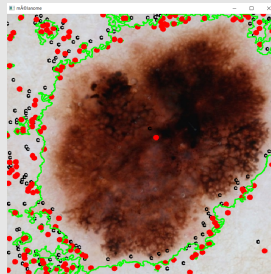
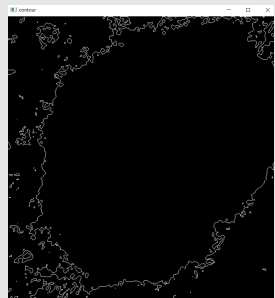
Test 1 avec des cercles

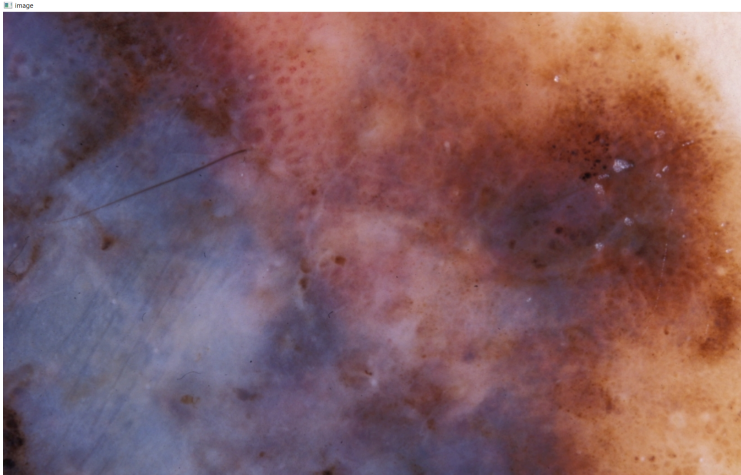


Test 2: données

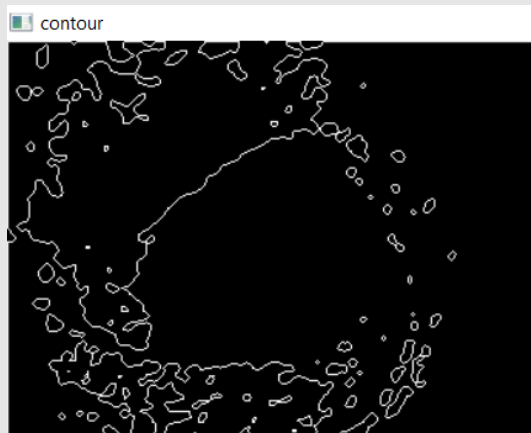


Test 2: résultats





contour du mélanome





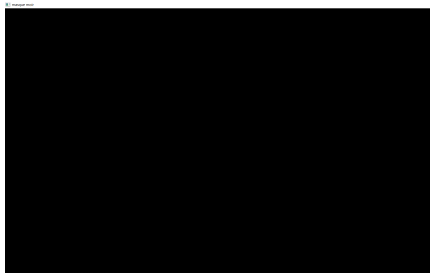
Bleu: min(80, 25, 20); max(130, 255, 255)



Rouge: min(0, 70, 20); max(15, 255, 255)



Marron: $\min(10, 25, 20);$
 $\max(25, 255, 255)$



Blanc: $\min(0, 0, 20); \max(170, 0, 255)$

Noir: $\min(80, 25, 0) \max(130, 255, 0)$



Conclusion

Comment prévenir/anticiper une maladie de la peau avec les nouvelles technologies?



Annexes

Annexe 1

Démonstration effet Doppler:

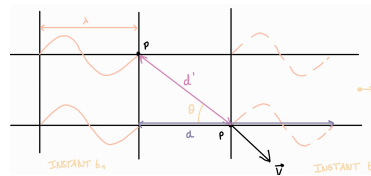
On pose $t_2 - t_1 = \frac{1}{f_p}$

On a: $d = d'.\cos(\theta) + \lambda$ et $\vec{V}.\vec{u} = V * \cos(\theta)$

De plus, $d = \frac{c}{f_p}$ et $\lambda = \frac{c}{f_e}$

Donc, $\frac{c}{f_p} = \frac{(\vec{V}.\vec{u})}{f_p} + \frac{c}{f_e}$

D'où, $\vec{V}.\vec{u} = c.(1 - \frac{f_p}{f_e})$



Annexe 2

```
import numpy as np
import random

def comparaison(10):
    A = np.zeros((10, 10))
    A[10-9:10-8, 0:10] = A[10-7:10-6, 0:10] = A[10-5:10-4, 0:10] = A[10-3:10-2, 0:10] = A[10-1:10, 0:10] = 1
    B = np.random.choice([1, 0], size=[10,10], p=[.2, .8])
    print(A)
    print(B)
    if B == A:
        return 'Les deux matrices sont différentes, il faut donc regarder ce qu il y a de différents'
    else:
        return 'Les deux matrices sont identiques, on ne fait rien'
```

Annexe 3

```

edged = cv2.Canny(gray, 30, 200)
cv2.waitKey(0)

# trouver les contours
# utilisation de copy parce que faire le contour altère l'image
contours, hierarchy = cv2.findContours(edged, cv2.RETR_EXTERNAL, cv2.CHAIN_APPROX_NONE)

cv2.imshow('Canny Edges After Contouring', edged)
cv2.waitKey(0)

print("Number of Contours found = " + str(len(contours)))

# dessiner les contours
# -1 signifies drawing all contours
cv2.drawContours(image, contours, -1, (0, 255, 0), 3)

cv2.imshow('Contours', image)
cv2.waitKey(0)
cv2.destroyAllWindows()

```

```

import cv2
import numpy as np
image = cv2.imread('image2.jpg')
cv2.waitKey(0)
# niveau de gris
gray = cv2.cvtColor(image, cv2.COLOR_BGR2GRAY)

edged = cv2.Canny(gray, 30, 200)
cv2.waitKey(0)
# trouver les contours
# utilisation de copy parce que faire le contour altère l'image
contours, hierarchy = cv2.findContours(edged, cv2.RETR_EXTERNAL, cv2.CHAIN_APPROX_NONE)

cv2.imshow('Canny Edges After Contouring', edged)
cv2.waitKey(0)
print("Number of Contours found = " + str(len(contours)))
# dessiner les contours
# -1 signifies drawing all contours
cv2.drawContours(image, contours, -1, (0, 255, 0), 3)

cv2.imshow('Contours', image)
cv2.waitKey(0)
cv2.destroyAllWindows()

```

Annexe 4

```
import cv2 as cv
import numpy as np

image = cv.imread("image2.jpg")
gray = cv.cvtColor(image, cv.COLOR_BGR2GRAY)

blur = cv.GaussianBlur(gray, (5, 5), cv.BORDER_DEFAULT)
ret, thresh = cv.threshold(blur, 200, 255, cv.THRESH_BINARY_INV)

cv.imwrite("thresh.png", thresh)

contours, hierarchies = cv.findContours(thresh, cv.RETR_LIST, cv.CHAIN_APPROX_SIMPLE)

blank = np.zeros(thresh.shape[:2], dtype='uint8')

cv.drawContours(blank, contours, -1, (255, 0, 0), 1)

cv.imwrite("contour.png", blank)
cv.imshow("contour", blank)
cv.waitKey(0)
```

```
for i in contours:
    M = cv.moments(i)
    if M['m00'] != 0:
        cx = int(M['m10'] / M['m00'])
        cy = int(M['m01'] / M['m00'])
        cv.drawContours(image, [i], -1, (0, 255, 0), 2)
        cv.circle(image, (cx, cy), 7, (0, 0, 255), -1)
        cv.putText(image, "center", (cx - 20, cy - 20),
                   cv.FONT_HERSHEY_SIMPLEX, 0.5, (0, 0, 0), 2)
        print(f"x: {cx} y: {cy}")

im = cv.imwrite("image.png", image)
cv.namedWindow("image", cv.WINDOW_NORMAL)
cv.imshow("image", image)
cv.waitKey(0)
```

Annexe 5

```

import cv2 as cv
import matplotlib
import matplotlib.pyplot as plt
import numpy as np

image = cv.imread("image2.jpg")
gray = cv.cvtColor(image, cv.COLOR_BGR2GRAY)

blur = cv.GaussianBlur(gray, (5, 5), cv.BORDER_DEFAULT)
ret, thresh = cv.threshold(blur, 200, 255, cv.THRESH_BINARY_INV)

cv.imwrite("thresh.png", thresh)

contours, hierarchies = cv.findContours(thresh, cv.RETR_LIST, cv.CHAIN_APPROX_SIMPLE)

blank = np.zeros(thresh.shape[:2], dtype='uint8')

cv.drawContours(blank, contours, -1, (255, 0, 0), 1)

cv.imwrite("contour.png", blank)
cv.imshow("contour", blank)
cv.waitKey(0)

```

```

for i in contours:
    M = cv.moments(i)
    if M['m00'] != 0:
        cx = int(M['m10'] / M['m00'])
        cy = int(M['m01'] / M['m00'])
        cv.drawContours(image, [i], -1, (0, 255, 0), 2)
        cv.circle(image, (cx, cy), 7, (0, 0, 255), -1)
        cv.putText(image, "center", (cx - 20, cy - 20),
                   cv.FONT_HERSHEY_SIMPLEX, 0.5, (0, 0, 0), 2)
        print(f"x: {cx} y: {cy}")

im = cv.imwrite("image.png", image)
cv.namedWindow("image", cv.WINDOW_NORMAL)
cv.imshow("image", image)
cv.waitKey(0)

```

Annexe 6

```
import cv2 as cv
import matplotlib.pyplot as plt
import numpy as np
from PIL import Image
import image

img = cv.imread("photo1.jpg")

hsv = cv.cvtColor(img, cv.COLOR_BGR2HSV)

lower_range_bleu = np.array([80, 25, 20])
upper_range_bleu = np.array([130, 255, 255])

lower_range_rouge = np.array([0, 70, 20])
upper_range_rouge = np.array([15, 255, 255])

lower_range_marron = np.array([10, 25, 20])
upper_range_marron = np.array([25, 255, 255])

lower_range_blanca = np.array([0, 0, 20])
upper_range_blanca = np.array([170, 0, 255])

lower_range_noir = np.array([80, 25, 0])
upper_range_noir = np.array([130, 255, 0])

maskbleu = cv.inRange(hsv, lower_range_bleu, upper_range_bleu)
maskrouge = cv.inRange(hsv, lower_range_rouge, upper_range_rouge)
maskmarron = cv.inRange(hsv, lower_range_marron, upper_range_marron)
masknoir = cv.inRange(hsv, lower_range_blanca, upper_range_blanca)
maskblanc = cv.inRange(hsv, lower_range_noir, upper_range_noir)

cv.imshow("image", img)
cv.imshow("masque bleu", maskbleu)
cv.imshow("masque rouge", maskrouge)
cv.imshow("masque marron", maskmarron)
cv.imshow("masque blanc", maskblanc)
cv.imshow("masque noir", masknoir)

cv.waitKey(0)
cv.destroyAllWindows()
```

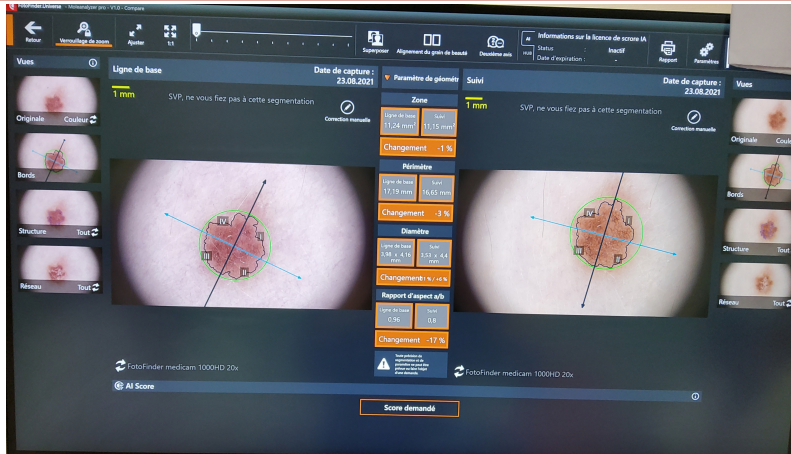
Annexe 7.1 Photos d'un Fotofinder



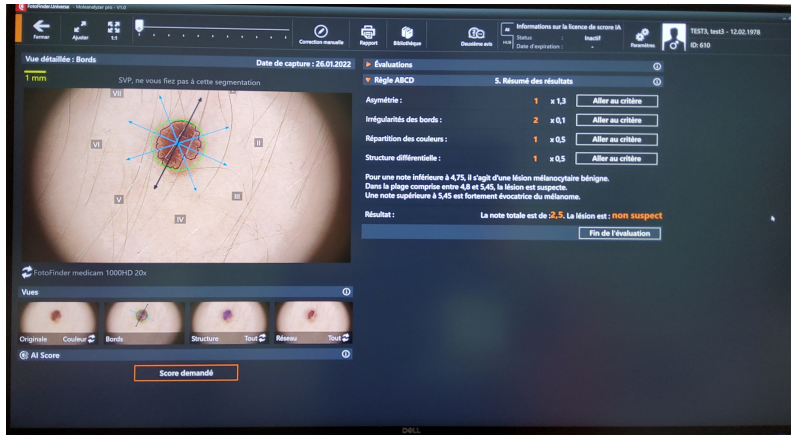
Annexe 7.2



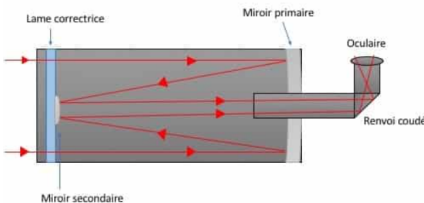
Annexe 7.3



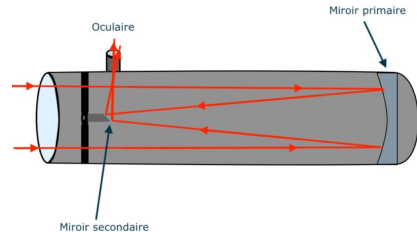
Annexe 7.4



Annexe 8

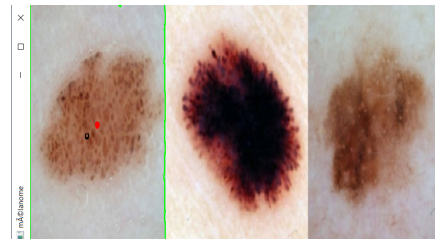
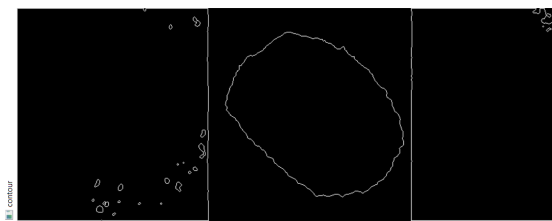


Téléscope Cassegrin



Téléscope Newton

Annexe 9



Annexe 10

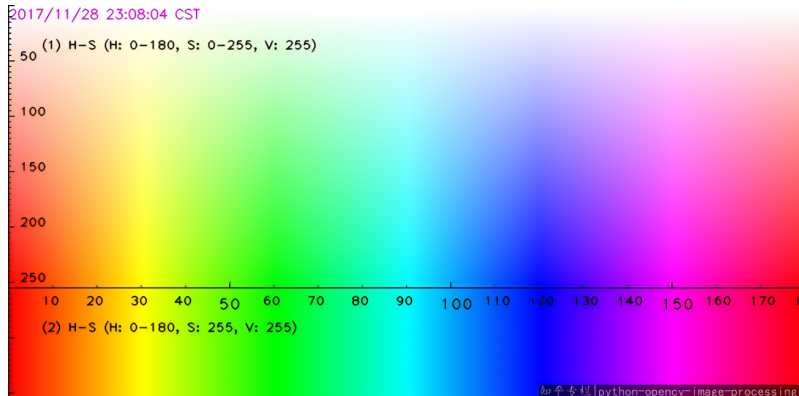


SparkFun ToF
Range Finder
Sensor - VL6180

Feature	Detail
Package	Optical LGA12
Size	4.8 x 2.8 x 1.0 mm
Ranging	0 to 100 mm ⁽¹⁾
Ambient light sensor	< 1 Lux up to 100 kLux ⁽²⁾ 16-bit output ⁽³⁾ 8 manual gain settings
Operating voltage:	
• Functional range	2.6 to 3.0 V
• Optimum range ⁽⁴⁾	2.7 to 2.9 V
Operating temperature:	
• Functional range	-20 to 70°C
• Optimum range ⁽⁴⁾	-10 to 60°C
Typical power consumption	Hardware standby (GPIO0 = 0): < 1 µA Software standby: < 1 µA ALS: 300 µA Ranging: 1.7 mA (typical average) ⁽⁵⁾
IR emitter	850 nm
I ² C	400 kHz serial bus Address: 0x29 (7-bit)

Datasheet LIDAR

Annexe 11



Annexe 12

```

import cv2 as cv
import numpy as np

image = cv.imread("3melanomes.jpg")
gray = cv.cvtColor(image, cv.COLOR_BGR2GRAY)

blur = cv.GaussianBlur(gray, (5, 5), cv.BORDER_DEFAULT)
ret, thresh = cv.threshold(blur, 200, 255, cv.THRESH_BINARY_INV)

cv.imwrite("thresh.png", thresh)

contours, hierarchies = cv.findContours(thresh, cv.RETR_LIST, cv.CHAIN_APPROX_SIMPLE)

blank = np.zeros(thresh.shape[:2], dtype='uint8')

cv.drawContours(blank, contours, -1, (255, 0, 0), 1)

cv.imwrite("contour.png", blank)
cv.imshow("contour", blank)
cv.waitKey(0)

```

```

areas = [cv.contourArea(i) for i in contours]
max_index = np.argmax(areas)
cnt = contours[max_index]
print(max_index)
cv.drawContours(image, contours, max_index, (0, 255, 0), 2)

for i in contours:
    M = cv.moments(cnt)
    if M['m00'] != 0:
        cx = int(M['m10'] / M['m00'])
        cy = int(M['m01'] / M['m00'])

        cv.circle(image, (cx, cy), 5, (0, 0, 255), -1)
        cv.putText(image, "c", (cx - 20, cy - 20),
                   cv.FONT_HERSHEY_SIMPLEX, 0.5, (0, 0, 0), 2)

im = cv.imwrite("melanome.png", image)
cv.namedWindow("mélanome", cv.WINDOW_NORMAL)
cv.imshow("mélanome", image)
cv.waitKey(0)

```